

УДК 539.3

НАПРЯЖЕННОЕ СОСТОЯНИЕ ПОЛУПЛОСКОСТИ,
ПОДКРЕПЛЕННОЙ БАЛКОЙ И СТРИНГЕРОМ,
С УЧЕТОМ РАЗВИТИЯ ПЛАСТИЧЕСКИХ ДЕФОРМАЦИЙ

КУДИШИН Ю. И.

В полуплоскости, кромка которой подкреплена балкой, нагруженной поперечной сосредоточенной силой, у концов стрингера, расположенного перпендикулярно кромке, наблюдается реальная концентрация напряжений, приводящая к возникновению пластических зон. Задача пластичности решается методом упругих решений А. А. Ильюшина. Соответствующая упругая задача решается методом линейного сопряжения. Приведены результаты вычислений, выполненных на ЭВМ для двух примеров: подкрановой балки промышленного здания и хребтовой балки ТЭЦ, изготовленных из строительных сталей.

1. Рассмотрим напряженное состояние однородной полубесконечной пластины толщиной d , прямолинейная кромка которой подкреплена бесконечным стержнем (балкой), обладающим жесткостью на изгиб $E_b J$ и на растяжение — сжатие $E_b F_b$ (фиг. 1). Перпендикулярно кромке, на конечном расстоянии от нее, пластина подкреплена другим стержнем (стрингером) конечной длины с жесткостью на растяжение — сжатие $E_p F$. На концах стрингера действуют продольные силы N_1 и N_2 . Балка загружена поперечной силой P . Пластина равномерно растянута на бесконечности силами $N_x d$, направленными вдоль ее кромки.

Известно [1—3], что в упругой постановке задачи у концов стрингера касательные напряжения обращаются в бесконечность, что затрудняет практическое использование результатов упругого решения. В связи с этим обычно делается ссылка на то, что в пластине, изготовленной из материала, обладающего пластическими свойствами, у концов стрингера образуются небольшие зоны пластичности, приводящие к перераспределению напряжений.

В предлагаемой работе сделана попытка проанализировать влияние указанных зон пластичности на напряженное состояние подкрепленной пластины, а также изучить форму и размеры этих зон.

Согласно методике учета развития пластических деформаций у концов стрингера, изложенной в [4] и основанной на методе упругих решений А. А. Ильюшина [5, 6], напряжения и деформации на $(k+1)$ -й итерации определяются формулами

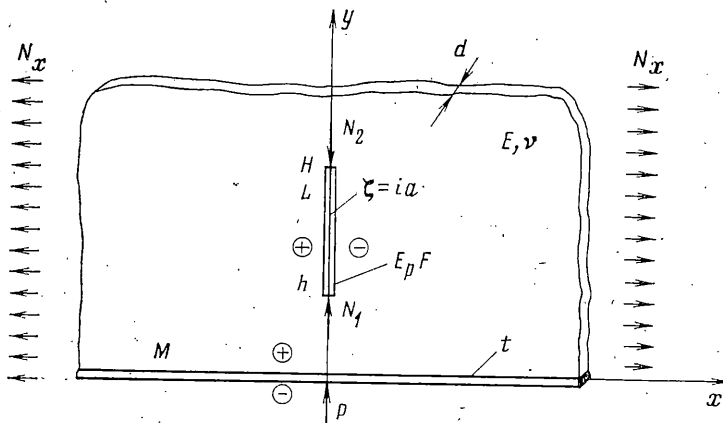
$$Y_y^{(k+1)} = \bar{Y}_y^{(k+1)} - \omega^{(k+1)} (Y_y^{(k+1)} - \sigma^{(k+1)}) \quad (1.1)$$

$$e_{yy}^{(k+1)} = (Y_y^{(k+1)} - v X_x^{(k+1)}) / E$$

$$\omega = 1 - \sigma_i / (3G e_i), \quad \sigma = (X_x + Y_y) / 3$$

$$X_x^{(k+1)} = X_x^{(k+1)} + \omega^{(k)} (X_x^{(k)} - \sigma^{(k)}), \quad X_y^{(k+1)} = X_y^{(k+1)} + \omega^{(k)} X_y^{(k)} \quad (1.2)$$

$$Y_y^{(k+1)} = Y_y^{(k+1)} + \omega^{(k)} [Y_y^{(k)} - (3-v) \sigma^{(k)}]$$



Фиг. 1

где $Y_{(y)}^{(k+1)}, \dots$ — напряжения, определяемые из решения соответствующей упругой контактной задачи с некоторой пластической поправкой.

2. Положим, что пластина занимает верхнюю полуплоскость и представляет собой двухсвязную область, ограниченную контурами M (кромка полуплоскости) и L (линия контакта стрингера с пластиной). Афиксами точек пластины будут точки плоскости комплексного переменного $z = x + iy$. Точки контуров M и L обозначены соответственно буквами t и $\zeta = ia$. Величины, относящиеся к левым и правым берегам контуров, будут иметь индексы плюс и минус соответственно.

Из рассмотрения равновесия элементарного отрезка стрингера получим

$$X_y^+ - X_y^- = F\sigma_p'(\zeta)/d, \quad X_x^+ - X_x^- = 0 \quad (\zeta \in L) \quad (2.1)$$

где $\sigma_p(\zeta)$ — нормальные напряжения в стрингере¹.

В силу симметрии относительно оси y на L имеем соотношения

$$\partial v^+/\partial y = \partial v^-/\partial y, \quad \partial u^+/\partial y = 0 \quad (2.2)$$

Используя известные выражения напряжений и перемещений через комплексные потенциалы Колосова — Мусхелишвили [7], из первого уравнения (2.1) и второго равенства (2.2) можно получить соотношение

$$\operatorname{Jm}[\Phi(\zeta)^+ - \Phi(\zeta)^-] = F\sigma_p'/[d(1+\kappa)] \quad (2.3)$$

Рассматривая первое равенство (2.2), нетрудно убедиться в непрерывности функции $\operatorname{Re}\Phi(\zeta)$ при переходе через контур L . Тогда для функции $\Phi(\zeta)$ можно записать задачу Римана:

$$\Phi(\zeta)^+ - \Phi(\zeta)^- = iF\sigma_p'/[d(1+\kappa)] \quad (2.4)$$

Для определения второго комплексного потенциала $\Psi(z)$ введем в рассмотрение вспомогательную кусочно-голоморфную функцию $\theta(z) = -z\Phi'(z) + \Psi(z)$, для которой нетрудно получить задачу Римана. Подставляя перемещение v , выраженное через комплексные потенциалы, в первое уравнение (2.2) и учитывая определение функции $\theta(z)$, можно убедиться в непрерывности $\operatorname{Re}[\theta(\zeta)]$ при переходе через контур L . Аналогичным образом из равенства (2.2) получаем $\operatorname{Jm}[\theta(\zeta)]^{\pm} = (x+1)\operatorname{Jm}[\Phi(\zeta)]^{\pm}$. Подставляя последнее выражение в (2.3) и имея в виду непрерывность $\operatorname{Re}[\theta(\zeta)]$, получаем задачу Римана

$$\theta(\zeta)^+ - \theta(\zeta)^- = iF\sigma_p'/d \quad (2.5)$$

¹ Здесь и далее остальные обозначения соответствуют принятым в [7].

Решение задачи (2.4) сводится к определению кусочно-голоморфной функции в области, не совпадающей со всей плоскостью. Оно дается формулой (7) (см. [7] с. 387), которая в соответствии с принятыми обозначениями будет иметь вид

$$\Phi(z) = n \int_L \frac{\sigma_p'}{\xi - z} d\xi + \Phi_0(z) + C_1, \quad n = \frac{F(1+\nu)}{8\pi d} \quad (2.6)$$

Аналогично, записывая решение задачи (2.5) и используя определение функции $\Psi(z)$, получаем

$$\Psi(z) = nz \int_L \frac{\sigma_p'}{(\xi - z)^2} d\xi + n(\kappa+1) \int_L \frac{\sigma_p'}{\xi - z} d\xi + \Psi_0(z) + C_2 \quad (2.7)$$

где C_1, C_2 — произвольные постоянные, $\Phi_0(z), \Psi_0(z)$ — голоморфные в верхней полуплоскости функции, исчезающие на бесконечности, которые можно определить из условия контакта балки с полуплоскостью на контуре L .

Рассматривая равновесие элементарного отрезка балки, спаянной с полуплоскостью на ее границе, можно записать уравнения

$$\frac{E_\delta J}{d} v^{IV}(t) = Y_y(t) + \frac{P}{d} \delta(t), \quad X_y(t) = -\frac{F_\delta}{d} \sigma_\delta' \quad (2.8)$$

Используя эти равенства, составим комплексную комбинацию $Y_y(t) - iX_y(t)$. Выражая затем величины $v^{IV}(t), Y_y(t)$ и $X_y(t)$ при помощи комплексных потенциалов и используя формулы (2.6), (2.7), приходим к первой основной задаче для верхней полуплоскости с граничным условием

$$Y_y^\circ - iX_y^\circ = 2K_J v'''(t) - \frac{P}{d} \delta(t) - \frac{EK_J K_F}{E_\delta(\kappa+1)} \sigma_\delta^{IV}(t) + \frac{iF_\delta}{d} \sigma_\delta'(t) + \Omega(t) \quad (2.9)$$

$$Y_y^\circ - iX_y^\circ = \Phi_0(t) + \overline{\Phi_0(t)} + t\overline{\Phi_0'(t)} + \overline{\Psi_0(t)}$$

$$K_J = 2E_\delta J/(Ed), \quad K_F = 2E_\delta F_\delta/(Ed), \quad v(t) = \operatorname{Im} \Phi(t)$$

$$\Omega(t) = -n \int_L \frac{\sigma_p'(a)}{\xi - t} d\xi - n(\kappa+2) \int_L \frac{\sigma_p'(a)}{\xi + t} d\xi + 2nt \int_L \frac{\sigma_p'(a)}{(\xi + t)^2} d\xi - C_1 - \bar{C}_1 - C_2$$

Решение подобной задачи хорошо известно ([2], с. 349):

$$\Phi_0(z) = \frac{1}{2\pi i} \int_{-\infty}^{\infty} \frac{Y_y^\circ(t) - iX_y^\circ(t)}{t - z} dt \quad (2.10)$$

$$\Psi_0(z) = \frac{1}{2\pi i} \int_{-\infty}^{\infty} \frac{Y_y^\circ(t) + iX_y^\circ(t)}{t - z} dt - \Phi_0(z) - z\Phi_0'(z)$$

Подставляя сюда соответствующие значения из (2.9), производя интегрирование и подставляя полученный результат в формулы (2.6) и (2.7), получаем

$$\Phi(z) = -iK \int_{-\infty}^{\infty} \frac{v'''(t)}{t - z} dt - i \frac{P}{z} + iK_1 \int_{-\infty}^{\infty} \frac{\sigma_\delta^{IV}(t)}{t - z} dt + \quad (2.11)$$

$$+ K_2 \int_{-\infty}^{\infty} \frac{\sigma_\delta'(t)}{t - z} dt + n \int_L \sigma_p'(a) Q_1(\xi, z) d\xi + \frac{N_x}{4}$$

$$\begin{aligned}\Psi(z) = & iKz \int_{-\infty}^{\infty} \frac{v'''(t)}{(t-z)^2} dt - i \frac{P_1}{z} - iK_1 z \int_{-\infty}^{\infty} \frac{\sigma_{\delta}^{IV}(t)}{(t-z)^2} dt - \\ & - K_2 \int_{-\infty}^{\infty} \sigma_{\delta}'(t) \left[\frac{2}{t-z} + \frac{z}{(t-z)^2} \right] dt + n \int_L \sigma_p'(a) Q_2(\xi, z) d\xi - \frac{N_x}{2} \quad (2.42)\end{aligned}$$

$$\begin{aligned}Q_1(\xi, z) = & \frac{1}{\xi-z} - \frac{\kappa+2}{\xi+z} + \frac{2z}{(\xi+z)^2}, \quad Q_2(\xi, z) = \frac{\kappa+1}{\xi-z} + \\ & + \frac{\kappa+1}{\xi+z} + \frac{z}{(\xi-z)^2} - \frac{(\kappa+6)z}{(\xi+z)^2} + \frac{4z^2}{(\xi+z)^3}\end{aligned}$$

$$K = \frac{K_J}{\pi}, \quad K_1 = \frac{(1+\nu)E_{\delta}JF_{\delta}}{2\pi E d^2}, \quad K_2 = \frac{F_{\delta}}{2\pi d}, \quad P_1 = \frac{P}{2\pi d} \quad (2.13)$$

Значения произвольных постоянных в (2.11), (2.12) были определены из условия на бесконечности: $X_{\alpha}(\infty) = N_x$.

Для определения среднего нормального напряжения в балке σ_{δ} , входящего в выражения (2.11), (2.12), воспользуемся условием равенства продольных деформаций балки и полу平面 по линии их контакта $\epsilon_{\delta} = du/dt$. Выражая du/dt через комплексные потенциалы (2.11) и (2.12), а также имея в виду соотношение $\epsilon_{\delta} = \sigma_{\delta}/E_{\delta}$, получаем

$$\begin{aligned}2\pi K(1-\nu)v'''(t) = & \frac{E}{E_{\delta}}\sigma_{\delta}(t) + 2\pi K_1(1-\nu)\sigma_{\delta}^{IV}(t) - \\ & - 4K_2 \int_{-\infty}^{\infty} \frac{\sigma_{\delta}'(t_0)}{t_0-t} dt_0 - n \int_L \sigma_p'(a) R_3(a, t) da - N_x + 2P_1\pi(1-\nu)\delta(t) \\ R_3(a, t) = & -\frac{4(\kappa+1)a}{a^2+t^2} + \frac{16at^2}{(a^2+t^2)^2} \quad (2.14)\end{aligned}$$

Переходя в (2.11) к пределу при $y \rightarrow +0$ и выделяя мнимую часть, получим

$$\begin{aligned}v(t) = & -K \int_{-\infty}^{\infty} \frac{v'''(t_0)}{t_0-t} dt_0 - \frac{P_1}{t} + K_1 \int_{-\infty}^{\infty} \frac{\sigma_{\delta}^{IV}(t_0)}{t_0-t} dt_0 + \\ & + \pi K_2 \sigma_{\delta}'(t) + n \int_L \sigma_p'(a) J_1(a, t) da \\ J_1(a, t) = & -\frac{(\kappa+3)t}{a^2+t^2} + \frac{2t(t^2-a^2)}{(a^2+t^2)^2} \quad (2.15)\end{aligned}$$

Выражения (2.14), (2.15) можно рассматривать как систему уравнений относительно $\sigma_{\delta}(t)$, $v(t)$. Решая эту систему при помощи преобразования Фурье, получаем

$$\begin{aligned}v'''(t) = & \frac{P_1}{2} \int_0^{\infty} \frac{\alpha^3 [2 + (1+\nu)K_F\alpha]}{D(\alpha)} \cos \alpha t d\alpha + \\ & + n \int_L \sigma_p'(a) \int_0^{\infty} \frac{\alpha^3}{D(\alpha)} \left\{ 1 + \kappa + 2a\alpha + \frac{K_F\alpha}{2} [4 - K_J(1+\nu)^2 a\alpha^4] \right\} e^{-\alpha a} \cos \alpha t da d\alpha \quad (2.16)\end{aligned}$$

$$\begin{aligned} \sigma_{\delta}'(t) = & \frac{2(1-v)E_{\delta}}{E} P_1 \int_0^{\infty} \frac{\alpha \sin \alpha t}{D(\alpha)} d\alpha + \\ & + \frac{4E_{\delta}n}{E} \int_L \sigma_p'(a) \int_0^{\infty} \frac{\alpha}{D(\alpha)} [\nu - 1 + 2a\alpha + (1+v)K_J a\alpha^4] e^{-\alpha a} \sin \alpha t da da \end{aligned} \quad (2.17)$$

$$D(\alpha) = 1 + K_F \alpha + K_J \alpha^3 + C K_J K_F \alpha^4, \quad C = (1+v)(3-v)/4$$

Для определения функции $\sigma_p'(a)$ используем контактное условие на контуре L , выражющееся в равенстве продольных деформаций стрингера ε_p и полуцоклисти. При этом деформации полуплоскости с учетом развитий пластичности у концов стрингера определяются для $(k+1)$ -й итерации метода упругих решений по формуле (1.1) с подстановкой в нее соответствующих значений из (1.2). Принимая во внимание соотношение $\varepsilon_p = \sigma_p/E_p$, определяющее продольные деформации стрингера, и выражая величины $X_{(x)}$ и $Y_{(y)}$ через комплексные потенциалы, равенство $\varepsilon_p = e_{yy}^{[k+1]}$ можно записать в следующем виде:

$$\frac{2\mu}{E_p} \sigma_p(y) = (\nu - 1) \operatorname{Re} \Phi(\zeta) + \operatorname{Re} \theta(\zeta) + \frac{X_h}{1+v}$$

$$X_h = \omega^{(k)} [(2 + 3\nu + \nu^2) Y_y^{(k)} - (1 - \nu^2) X_x^{(k)}]/3$$

Подставляя в предыдущее соотношение значения $\operatorname{Re} \Phi(\zeta)$ и $\operatorname{Re} \theta(\zeta)$, найденные из формул (2.11) и (2.12) с учетом определения функции $\theta(z)$, получаем сингулярное интегродифференциальное уравнение относительно $\sigma_p(y)$:

$$\sigma_p(y) - \frac{\lambda}{\pi} \int_L \frac{\sigma_p'(a)}{a-y} da - \frac{\lambda_1}{\pi} \int_L \sigma_p'(a) K(a, y) da = f_1(y) \quad (2.18)$$

$$\lambda = CE_p F / (Ed), \quad \lambda_1 = E_p F (1+v)^2 / (8Ed)$$

$$f_1(y) = -P \frac{(1+v)E_p}{2\pi Ed} \int_0^{\infty} [\nu - 1 + [2(1-v)K_F + 2y + (1+v)K_F \alpha y] \alpha] \frac{e^{-\alpha y}}{D(\alpha)} d\alpha -$$

$$- \frac{E_p}{E} (\nu N_x - X_h)$$

$$K(a, y) = \frac{b_{13}}{a+y} - \frac{12y}{(a+y)^2} + \frac{8y^2}{(a+y)^3} + \int_0^{\infty} \frac{B_h(a, y, \alpha)}{D(\alpha)} e^{-\alpha(a+y)} d\alpha$$

$$B_h(a, y, \alpha) = \alpha [b_1 + (b_2 a + 2b_3 y) \alpha + (b_4 + 2b_5 a y) \alpha^2 + \\ + (b_6 + b_7 a + 2b_8 y) \alpha^3 + (b_9 a + 2b_{10} y + 2b_{11} a y) \alpha^4 + 4b_{12} a y \alpha^5]$$

$$b_1 = (\nu - 1)(\nu - 3)K_F, \quad b_2 = 2(\nu - 3)K_F, \quad b_3 = (\nu - 1)K_F, \quad b_4 = (\nu^2 - 1)K_F,$$

$$b_5 = 2K_F, \quad b_6 = (\nu - 1)(3 - \nu)K_F, \quad b_7 = 2(\nu - 1)K_F, \quad b_8 = (\nu + 1)K_F$$

$$b_9 = 2(1 - 3\nu)K_F K_F, \quad b_{10} = (3 - \nu)K_F K_F, \quad b_{11} = 2K_F, \quad b_{12} = (1 + v)K_F K_F$$

$$b_{13} = (\nu + 1) - (\nu - 1)(\nu + 2)$$

Уравнение (2.18) следует решать при граничных условиях

$$\sigma_p(h) = -p_1 = -N_1/F, \quad \sigma_p(H) = -p_2 = -N_2/F \quad (2.19)$$

Уравнение (2.18) относится к хорошо изученному классу сингулярных уравнений. Для приближенного решения его разработаны удобные и эффективные методы (см. [2, 8, 9]).

Выражения для комплексных потенциалов (2.11), (2.12) с учетом (2.16), (2.17) позволяют получить формулы для вычисления всех компонент напряжений в полубесконечной пластине.

Для точек, принадлежащих кромке полуплоскости (контуру M):

$$\begin{aligned}
 Y_y(t) &= -\frac{P}{\pi d} \int_0^\infty \frac{1+K_F \alpha}{D(\alpha)} \cos \alpha t d\alpha + 2K_F n \int_L \sigma_p'(a) M(a, t) da \\
 X_x(t) &= -\frac{P}{\pi d} \int_0^\infty \frac{2+(1+v)K_F \alpha}{D(\alpha)} \cos \alpha t d\alpha + 4n \int_L \sigma_p'(a) Q(a, t) da - Y_y(t) + N_x \\
 X_y(t) &= -\frac{(1-v)K_F P}{2\pi d} \int_0^\infty \frac{\alpha \sin \alpha t}{D(\alpha)} d\alpha - 2K_F n \int_L \sigma_p'(a) L(a, t) da
 \end{aligned} \tag{2.20}$$

Для точек, принадлежащих линии контакта стрингера с полуплоскостью (контуру L):

$$\begin{aligned}
 Y_y(y) &= \frac{2v}{3-v} \left[-\frac{P}{2\pi d} \int_0^\infty \frac{M_y(\alpha, y)}{D(\alpha)} e^{-\alpha y} d\alpha + n \int_L \sigma_p'(a) K_y(a, y) da \right] + \\
 &\quad + \frac{3+v}{4C} \left[\frac{E}{E_p} \sigma_p(y) + vN_x + X_h \right] \\
 X_x(y) &= \frac{1}{v} \left[Y_y(y) - \frac{E}{E_p} \sigma_p(y) - X_h \right], \quad X_y(y)^\pm = \pm \frac{F_p}{2} \sigma_p'(y)
 \end{aligned} \tag{2.21}$$

Для произвольной внутренней точки полуплоскости

$$\begin{aligned}
 Y_y(x, y) &= -\frac{P}{2\pi d} \int_0^\infty \frac{2+2(K_F+y)\alpha+(1+v)K_F y \alpha^2}{D(\alpha)} e^{-\alpha y} \cos \alpha x d\alpha + \\
 &\quad + n \int_L \sigma_p'(a) B_y(a, x, y) da
 \end{aligned} \tag{2.22}$$

$$\begin{aligned}
 X_x(x, y) &= -\frac{P}{\pi d} \int_0^\infty \frac{2+(1+v)K_F \alpha}{D(\alpha)} e^{-\alpha y} \cos \alpha x d\alpha + \\
 &\quad + 4n \int_L \sigma_p'(a) B_x(a, x, y) da - Y_y(x, y) + N_x \\
 X_y(x, y) &= -\frac{P}{2\pi d} \int_0^\infty \frac{[2y+(1-v)K_F+(1+v)K_F y \alpha]\alpha}{D(\alpha)} e^{-\alpha y} \sin \alpha x d\alpha + \\
 &\quad + n \int_L \sigma_p'(a) B_{xy}(a, x, y) da
 \end{aligned}$$

В формулах (2.20)–(2.22) функции, составляющие ядра интегралов, имеют следующие значения:

$$\begin{aligned}
 M(a, t) &= \int_0^\infty [b_{14} + (b_{15}+2a)\alpha + b_{16}a\alpha^2] \alpha^3 \frac{e^{-\alpha a}}{D(\alpha)} \cos \alpha t d\alpha \\
 Q(a, t) &= -\frac{b_{14}a}{a^2+t^2} + \frac{4at^2}{(a^2+t^2)^2} + \\
 &\quad + \int_0^\infty [b_3+b_5a\alpha+b_8\alpha^2+(b_{10}+b_{11}a)\alpha^3+2b_{12}a\alpha^4]\alpha \frac{e^{-\alpha a}}{D(\alpha)} \cos \alpha t d\alpha
 \end{aligned}$$

$$L(a, t) = \int_0^\infty (b_{17} + 2a\alpha + b_{18}a\alpha^4) \frac{e^{-\alpha t}}{D(\alpha)} \sin \alpha t \, d\alpha$$

$$M_y(a, y) = b_{14} + [b_{16}(1-\alpha y) - 2y]\alpha$$

$$K_y(a, y) = -\frac{(\kappa+1)(\kappa+3)}{a+y} + \frac{4(\kappa+3)y}{(a+y)^2} - \frac{8y^2}{(a+y)^3} + \int_0^\infty \frac{G_y(a, \alpha, y)}{D(\alpha)} e^{-\alpha(a+y)} \, d\alpha$$

$$G(a, \alpha, y) = \{b_{19} + (b_{20}a - 2b_3y)\alpha + (b_{21} - 2b_5ay)\alpha^2 + [b_{22} + 2b_8(a-y)]\alpha^3 + (b_{23}a - 2b_{10}y - 2b_{11}ay)\alpha^4 - 4b_{12}ay\alpha^5\}\alpha$$

$$B_y(a, x, y) = R_y(a, x, y) + 2 \int_0^\infty \frac{G_{yy}(a, y, \alpha)}{D(\alpha)} e^{-\alpha(a+y)} \cos \alpha x \, d\alpha$$

$$R_y(a, x, y) = -\frac{(\kappa+3)(y-a)}{x^2 + (y-a)^2} - \frac{(\kappa+3)(y+a)}{x^2 + (y+a)^2} + \frac{4x^2(y-a)}{[x^2 + (y-a)^2]^2} + \\ + 2 \frac{(\kappa+3)y[x^2 - (y+a)^2] + 2x^2(y+a)}{[x^2 + (y+a)^2]^2} + 8y \frac{y(y+a)^3 + 3x^2a(y+a) - x^4}{[x^2 + (y+a)^2]^3}$$

$$G_{yy}(a, y, \alpha) = \alpha^2 [b_3y + (b_8 + b_5ay)\alpha + (b_{10} + b_{11}a + b_8y)\alpha^2 + (b_{10}y + b_{12}a + b_{11}ay)\alpha^3 + 2b_{12}ay\alpha^4]$$

$$B_x(a, x, y) = R_x(a, x, y) + \int_0^\infty \frac{G_{xx}(a, \alpha)}{D(\alpha)} e^{-\alpha(y+a)} \cos \alpha x \, d\alpha$$

$$R_x(a, x, y) = -\frac{y-a}{x^2 + (y-a)^2} - \frac{(\kappa+2)(y+a)}{x^2 + (y+a)^2} + 2 \frac{2x^2(y+a) + y(y+a)^2 - x^2y}{[x^2 + (y+a)^2]^2}$$

$$G_{xx}(a, \alpha) = \alpha [b_3 + b_5a\alpha + b_8\alpha^2 + (b_{10} + b_{11}a)\alpha^3 + 2b_{12}a\alpha^4]$$

$$B_{xy}(a, x, y) = R_{xy}(a, x, y) + 2 \int_0^\infty \frac{G_{xy}(a, y, \alpha)}{D(\alpha)} e^{-\alpha(y+a)} \sin \alpha x \, d\alpha$$

$$R_{xy}(a, x, y) = -\frac{b_{14}x}{x^2 + (y-a)^2} + \frac{b_{14}x}{x^2 + (y+a)^2} + \frac{2x[x^2 - (y-a)^2]}{[x^2 + (y-a)^2]^2} - \\ - 2x \frac{x^2 + (y+a)[2(\kappa+5)y - (y+a)]}{[x^2 + (y+a)^2]^2} + 8xy \frac{3y(y+a)^2 + 3x^2(y+a) - (y+a)^3 - x^2y}{[x^2 + (y+a)^2]^3}$$

$$G_{xy}(a, y, \alpha) = \alpha [-b_3 + (b_3y - b_5a)\alpha + b_5ay\alpha^2 + b_8y\alpha^3 + (b_{10}y - b_{12}a + b_{11}ay)\alpha^4 + 2b_{12}ay\alpha^5]$$

$$b_{14} = \kappa+1, \quad b_{15} = (3-\nu)K_F, \quad b_{16} = (1+\nu)K_F, \quad b_{17} = \kappa-1, \quad b_{18} = (1+\nu)K_J$$

$$b_{19} = (\kappa-1)(\kappa+3)K_F, \quad b_{20} = 2(\kappa+3)K_F, \quad b_{21} = (\kappa+1)^2K_J$$

$$b_{22} = (\kappa+1)(3-\nu)K_JK_F, \quad b_{23} = 2(5+\nu)K_JK_F$$

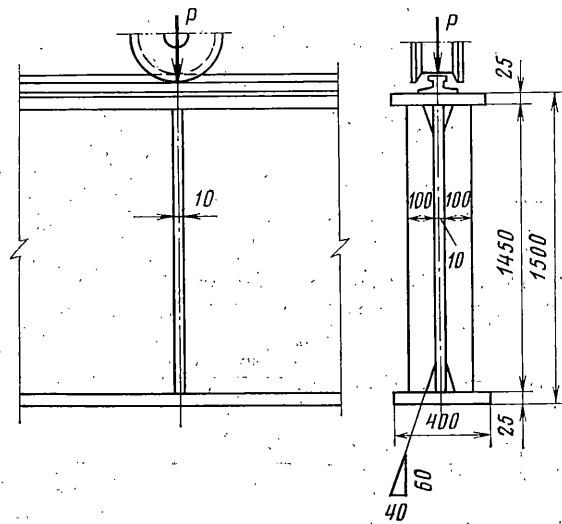
Из приведенного решения нетрудно получить несколько частных случаев, хорошо известных в литературе.

Полагая в (2.11), (2.12), (2.22) $J=0, F_6=0, P=0, N_x=0, \sigma_p'(a)=T(a)/F$ и стягивая контур L в точку, сохраняя при этом равнодействующую касательных сил T постоянной, получим известное решение Мелана [10] для полу平面ости с приложенной внутри сосредоточенной силой².

Полагая в формулах (2.20) $n=0, N_x=0$, приходим к результатам, полученным в [11] для балки, загруженной сосредоточенной силой и жестко скрепленной с упругой полу平面остью.

Полагая дополнительно в этих же формулах $K_F=0$, приходим к известному решению о балке, прикрепленной к упругой полу平面ости без трения [12].

² Подробнее см. [43].



Фиг. 2

Полагая в (2.11), (2.12), (2.18) $J=0$, $F_\delta=0$, $P=0$, $N_2=0$, $N_x=0$, $h=0$, $X_h=0$, получаем решение для полу平面 загруженной через стрингер конечной длины, расположенный перпендикулярно кромке [3].

Переходя в (2.18) к пределу при $h \rightarrow \infty$, перенеся предварительно начало координат в точку $[0, (H+h)/2]$, а также полагая $N_x=0$, получим уравнение задачи о бесконечной плоскости, подкрепленной стрингером конечной длины [8].

В приведенных частных случаях следует ограничиться первой итерацией, дающей упругое решение.

3. При вычислениях по полученным формулам удобно перейти к безразмерным параметрам: $y=l(y^\circ+e)$, $t=lt^\circ$, $a=l(a^\circ+e)$, $\alpha=a^\circ/l$, $K_J=K_J^\circ l^3$, $K_F=K_F^\circ l$, $x=x^\circ l$, $N_1=N_1^\circ F\sigma_s$, $N_2=N_2^\circ F\sigma_s$, $P=P^\circ ld\sigma_s$, $N_x=N_x^\circ \sigma_s$, $\lambda=\lambda^\circ l$, $\lambda_1=-\lambda_1^\circ l$, $J=J^\circ dl^3$, $F_\delta=F_\delta^\circ ld$, $F=F^\circ ld$, $l=(H-h)/2$, $e=1+h/l$. При этом интервал интегрирования $[h, H]$ перейдет в отрезок $[-1, 1]$ оси y° . В дальнейшем индекс в верхнем индексе опускается.

Удовлетворяя граничным условиям (2.19), которые теперь будут иметь вид $\sigma_p(-1)=-p_1=-N_1/(F\sigma_s)$, $\sigma_p(1)=-p_2=-N_2/(F\sigma_s)$, представим исковую функцию уравнения (2.18) в следующем виде:

$$\sigma_p(y)=W(y)+y(p_1-p_2)/2-(p_1+p_2)/2 \quad (3.1)$$

где $W(y)$ — новая неизвестная функция, удовлетворяющая нулевым граничным условиям $W(\pm 1)=0$.

Подставляя (3.1) в уравнение (2.18) и применяя к регулярному интегралу правило интегрирования по частям, получаем

$$W(y)-\frac{\lambda}{\pi} \int_{-1}^1 \frac{W'(a)}{a-y} da + \frac{\lambda_1}{\pi} \int_{-1}^1 W(a)B(a, y) da = f(y) \quad (3.2)$$

$$f(y)=f_1(y)+\frac{p_1-p_2}{2} \left(\frac{\lambda_1}{\pi} \int_{-1}^1 K(a, y) da + \frac{\lambda}{\pi} \ln \frac{1-y}{1+y} - y \right) + \frac{p_1+p_2}{2}$$

$$B(a, y)=K'(a, y)_a$$

Следуя [9], представим исковую функцию W в виде интерполяционного полинома Лагранжа по узлам полиномов Чебышева второго рода порядка n , который после некоторых преобразований будет иметь вид³

³ См. также [8].

$$W(\theta) \approx \frac{2}{n+1} \sum_{k=1}^n W_k \sum_{m=1}^n \sin m\theta_k \sin m\theta \quad (3.3)$$

$$\theta = \arccos y, \quad \theta_k = k\pi/(n+1) \quad (k=1, 2, 3, \dots, n)$$

Подставляя (3.3) в (3.2), производя известные преобразования и придавая аргументу θ значения $\theta_i = i\pi/(n+1)$ ($i=1, 2, 3, \dots, n$), приходим к системе линейных алгебраических уравнений:

$$\sum_{k=1}^n W_k b_{ik} = f_i \quad (i, k = 1, 2, 3, \dots, n) \quad (3.4)$$

$$b_{ii} = 1 + \frac{\lambda(n+1)}{2 \sin \theta_i} + d_{ii}, \quad b_{ik} = d_{ik} \quad (|i-k|=2, 4, 6, \dots)$$

$$b_{ik} = d_{ik} - \frac{\lambda}{2(n+1) \sin \theta_i} \left(\operatorname{ctg}^2 \frac{\theta_k - \theta_i}{2} - \operatorname{ctg}^2 \frac{\theta_k + \theta_i}{2} \right) \quad (|i-k|=1, 2, 3, \dots)$$

$$d_{ik} = \frac{\lambda_1 \sin \theta_k}{n+1} B(\cos \theta_k, \cos \theta_i), \quad f_i = f(\cos \theta_i)$$

Для решения системы (3.4) и вычислений по формулам (2.20)–(2.22), а также (1.1) и (1.2) была составлена ФОРТРАН-программа, реализованная на ЭВМ ЕС. При вычислении интегралов, входящих в указанные формулы, использовались соответствующие квадратурные формулы наивысшей степени точности [14].

4. В качестве примера рассмотрим локальное напряженное состояние стальной подкрановой балки в месте подкрепления ее стенки ребром жесткости (фиг. 2). Нагрузка от колеса $P=758$ кН, подкрановый рельс типа КР-100. В расчетной схеме этого узла рельс с верхним поясом можно представить в виде балки, стенку – в виде полуплоскости, ребро жесткости – в виде стрингера, представляющего собой одномерный континuum. В целях упрощения положим, что ребро находится вблизи опоры подкрановой балки, где напряжения от общего изгиба несущественны.

В соответствии с фиг. 2 исходные параметры задачи будут иметь следующие значения: $P=0,57$, $J=0,01$, $F_0=3,21$, $F=0,30$, $e=1,09$, $N_1=N_2=N_x=0$.

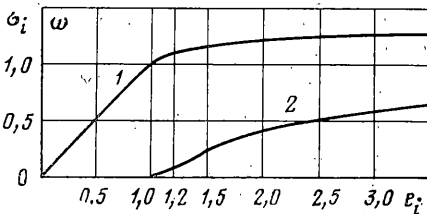
Положим, что балка изготовлена из мягкой строительной стали марки В Ст 3 сп 5, ГОСТ 380-71, $\sigma_s=200$ МПа, диаграмма работы которой в относительных координатах приведена на фиг. 3 (кривая 1). Здесь же показана кривая $\omega(e_i)$, которая для расчетов аппроксимировалась полиномами (кривая 2).

На фиг. 4, а, б представлены общий вид и увеличенный фрагмент распределения напряжений на кромке полуплоскости (под балкой) и на вертикальной оси. Сплошной линией показаны результаты пластического решения, штриховой – упругого. Справа от оси y показано распределение напряжений на кромке полуплоскости, слева – вдоль оси y (кривые 1 соответствуют напряжениям X_x , 2 – Y_y , 3 – X_y). Овальный контур вокруг верхнего конца ребра соответствует границе пластической зоны, построенной по условию $e_i = (X_x^2 - X_x Y_y + Y_y^2 + 3X_y^2)^{1/2} = 1$.

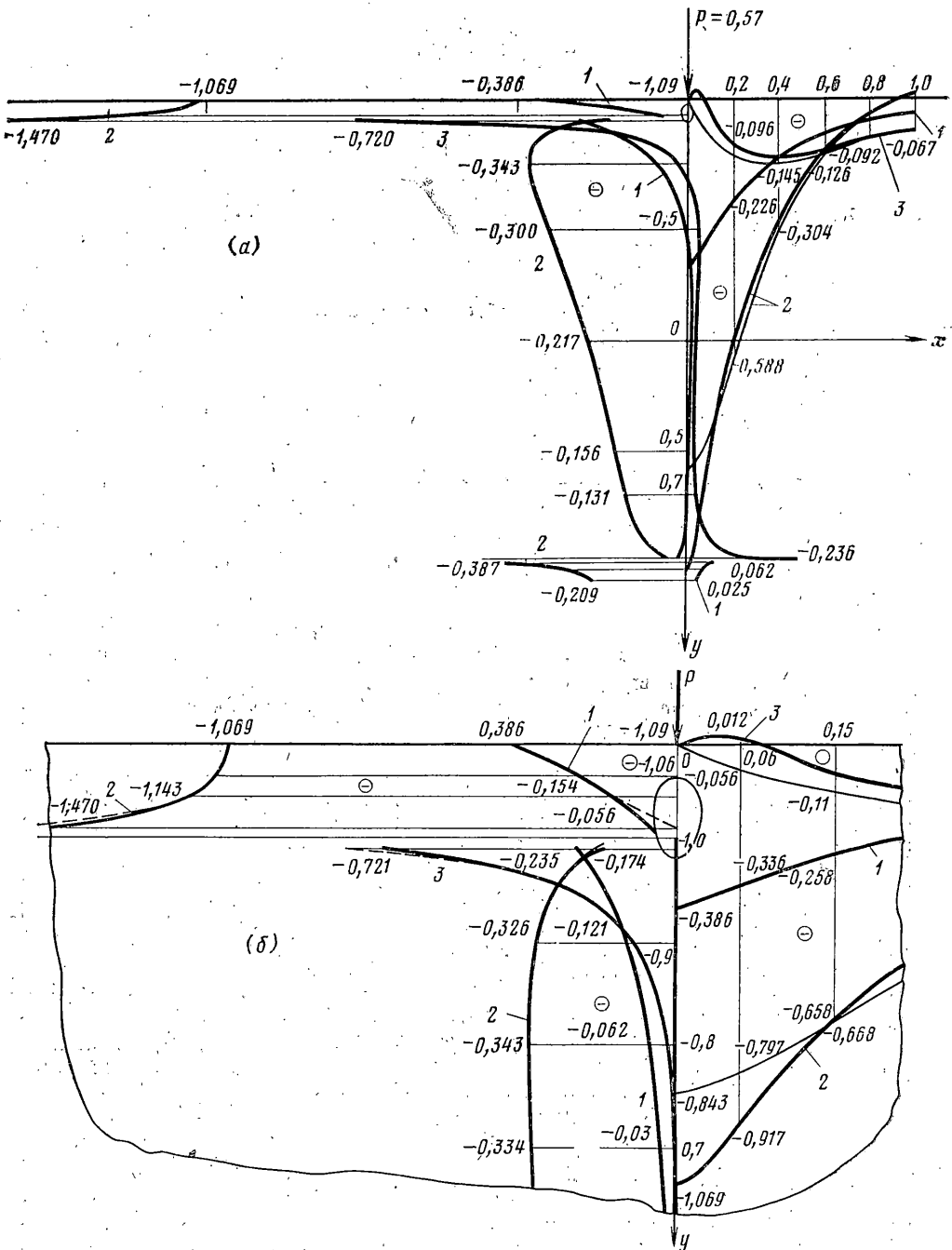
Тонкими линиями справа от оси y показаны эпюры распределения касательных (X_y) и нормальных (Y_y) напряжений под балкой при отсутствии ребра жесткости на стенке.

Следует отметить, что ребро жесткости вызывает резкую концентрацию напряжений у его концов, особенно у верхнего. Возникновение зон пластичности у концов ребра заметно влияет на распределение напряжений только в пределах этих зон.

Результаты многочисленных обследований состояния подкрановых балок промышленных зданий показывают, что в большинстве случаев усталостные трещины в верхнем поясном шве балки и околосшовной зоне зарождаются в местах подкрепления стенки балки ребрами жесткости. Выявленная в приведенном примере концентрация



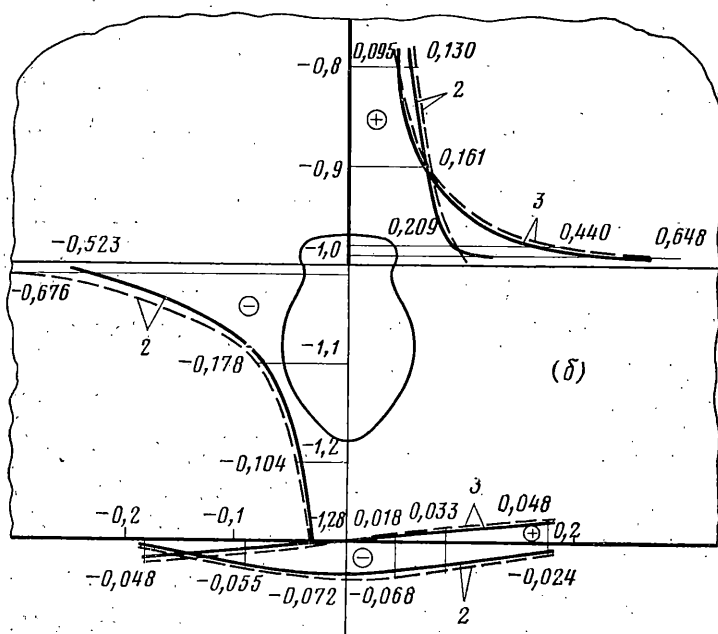
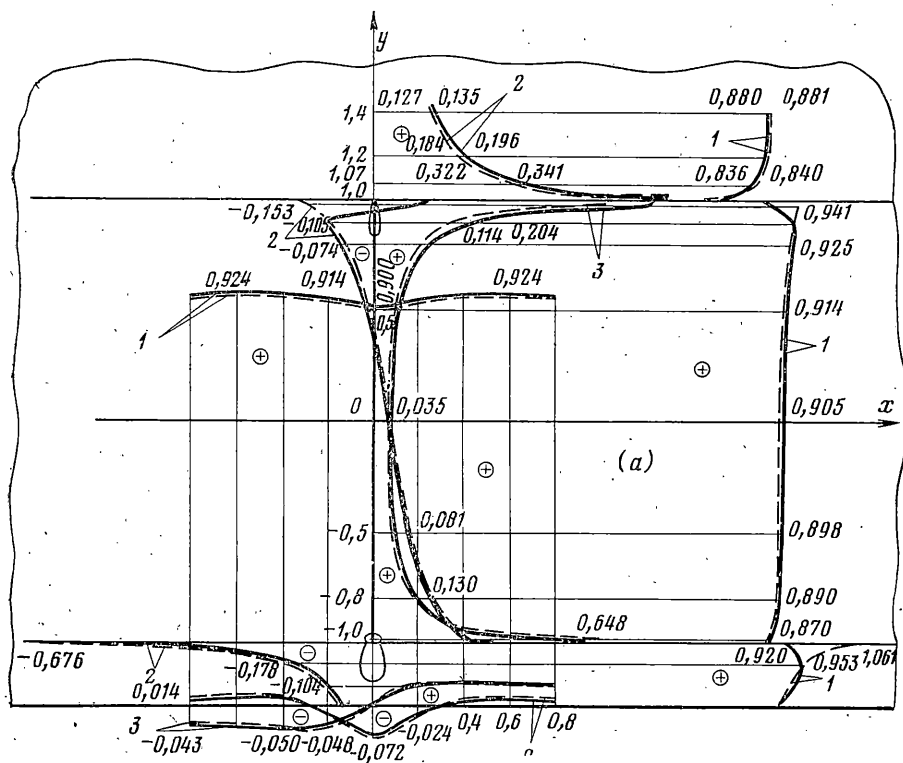
Фиг. 3



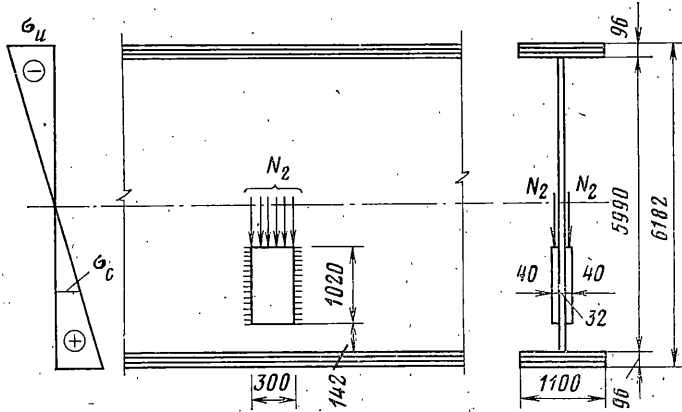
Фиг. 4

напряжений в указанной зоне определенным образом объясняет результаты наблюдений.

На фиг. 5 представлен фрагмент хребтовой балки котельного отделения ТЭЦ, изготовленной из низколегированной стали марки 16Г2АФ по ГОСТ 19282-73 с пределом пропорциональности 320 мПа. К хребтовым балкам пролетом 30 м и высотой ~6 м подвешены котлы массой ~250 т. Передача нагрузки на такую балку осуществляется при помощи накладок, приваренных в нижней части стенки, $N_2=1880$ кН. Пренебрегая взаимовлиянием фланговых швов, расчетную схему данного узла можно принять согласно фиг. 1 со следующими параметрами: $N_2=0,49$, $N_x=0,9$, $J=0,49$, $F_6=6,47$, $F=0,74$, $e=1,28$, $P=N_1=0$. Здесь влияние нормальных напряжений от общего



Фиг. 6



Фиг. 5

изгиба балки учтено приближенно, оно принято равным среднему напряжению по высоте накладки $\sigma_c = 288$ МПа.

Распределение напряжений в рассматриваемом узле показано на фиг. 6, а, б. Кроме высокой концентрации напряжений у концов ребра здесь следует обратить внимание на различие форм зон пластичности и влияние этих зон на распределение напряжений. У нижнего конца ребра форма зоны пластичности напоминает форму аналогичной зоны у верхнего конца ребра в предыдущем примере. У верхнего же конца зона пластичности практически не имеет ширины, т. е. пластический сдвиг происходит в основном по линии контакта ребра со стенкой, что сопровождается высокими градиентами деформаций в направлении, перпендикулярном оси ребра. При этом возникает опасность появления трещин в этой зоне от исчерпания пластических свойств металла.

В обоих приведенных примерах размеры зон пластичности относительно невелики (~10% от длины ребра), что обуславливает незначительную разницу (доли процента) величин напряжений вне пластических зон, полученных по упругому и пластическому решением. При увеличении нагрузок размеры зон резко возрастают и тогда эта разница становится существенной.

ЛИТЕРАТУРА

1. Арутюнян Н. Х. Контактная задача для полуплоскости с упругим креплением.— ПММ, 1968, т. 32, вып. 4, с. 632—646.
2. Мусхелишвили Н. И. Сингулярные интегральные уравнения. Изд. 2-е. М.: Физматгиз, 1962. 599 с.
3. Muki R., Sternberg E. On the diffusion of load from a transverse tension bar into a semi-infinite elastic sheet.— Trans. ASME. Ser. E. J. Appl. Mech., 1968, v. 35, No. 4, p. 737—746.— Рус. перев.: Тр. Амер. об-ва инж.-механ., сер. Е, 1968, т. 35, № 4, с. 124—135.
4. Кудишин Ю. И. Контактная задача о подкреплении бесконечной плоскости стрингером с учетом пластических свойств материала.— Изв. АН СССР. МТТ, 1981, № 4, с. 83—92.
5. Ильюшин А. А. Пластичность М.— Л.: Гостехиздат, 1948. 376 с.
6. Панферов В. М. Концентрация напряжений при упругопластических деформациях.— Изв. АН СССР. ОТН, 1954, № 4, с. 47—66.
7. Мусхелишвили Н. И. Некоторые основные задачи математической теории упругости. Изд. 5-е. М.: Наука, 1966. 707 с.
8. Каландия А. И. Математические методы двумерной упругости. М.: Наука, 1973. 303 с.
9. Molt hoop H. Die Berechnung der Auftriebsverteilung von Tragflügeln.— Luftfahrtforschung, 1938, B. 15, No. 4, S. 153—166.
10. Melan E. Der Spannungszustand der durch eine Einzelkraft im Innern beanspruchten Halbscheibe.— ZAMM, 1932, B. 12, H. 6, S. 343—346.
11. Шереметьев М. П. Пластиинки с подкрепленным краем. Львов: Изд-во Львовск. ун-та, 1960. 258 с.
12. Коренев Б. Г. Вопросы расчета балок и плит на упругом основании. М.: Госстройиздат, 1954. 232 с.
13. Кудишин Ю. И. Напряженное состояние упругой полуплоскости при действии на нее внутри сосредоточенной силы. Строительство и архитектура.— Изв. вузов, 1979, № 8, с. 35—41.
14. Крылов В. И. Приближенное вычисление интегралов. М.: Физматгиз, 1959. 327 с.

Поступила в редакцию
7.V.1981